

# 粒子物理实验中的质量测量

叶云秀

在核物理实验中，原子核的质量可以用质谱仪（计）、核乳胶，也可以用核反应的能量平衡等方法来测量。在高能物理实验中，由于粒子的能量高、速度快、寿命短，需要有一些新的方法。云室、气泡室等探测器曾起过重要作用。但当能量越来越高，不少新粒子的寿命越来越短，如许多共振态粒子的寿命在 $10^{-22}$ — $10^{-24}$ 秒的范围，它们在这些径迹室中留下的径迹将是非常短的，即使令它们以光速运动，留下的径迹也只有 $3 \times 10^{-14}$ 米— $3 \times 10^{-16}$ 米。如果它们为中性粒子，则粒子本身在这些探测器中不能留下径迹，除非观察其衰变产物。基于以上情况，我们介绍几种对高能粒子质量测量的方法。

## 一、不变质量谱法

我们先来看 1974 年在实验上是如何发现  $J/\psi$  粒子的，是如何测得其质量的。在布鲁克海文实验室的质子加速器上，质子束打在铍靶上，观察

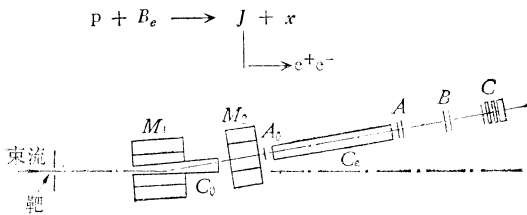


图 1 双臂谱仪的一臂  $M_1, M_2$ : 磁铁;  $C_0, C_e$  契仑柯夫计数器;  $A_0, A, B, C$ : 多丝正比室

反应，这里  $J$  是要观察的粒子。实验设备是一个双臂谱仪，其中的一臂如图 1 所示。每一臂相对于束流方向为 $14.6^\circ$ 。两臂各测得  $J$  粒子衰变的  $e^+e^-$  的能量和动量，用不变质量谱法把这两个粒子的能量、动量与衰变母体的质量联系起来，求得两粒子的不变质量分布，

在 $3.1\text{ GeV}$  处得到了一个尖锐的峰，这个峰值位置就是一个新的共振态，即新粒子  $J$ ，如图 2 所示。同时在斯坦福直线加速器中心，用  $e^+e^-$  对撞湮灭反应



观察产生强子终态的截

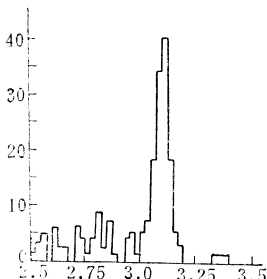
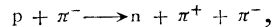


图 2  $J/\psi$  粒子的不变质量谱

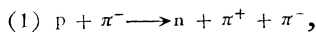
面，同样在 $3.1\text{ GeV}$  处得到一个尖锐的共振峰。这就是著名的  $J/\psi$  粒子的发现。

何为“不变质量”？为什么测量衰变产物的能量、动量可以得到母粒子的质量？我们以下述的粒子反应来加以说明。

### 观察共振态产生实验



以上反应可用  $\pi^-$  束入射到氢气泡室来做，终态  $n, \pi^+$ 、 $\pi^-$  可由两种过程形成：



相应的费曼图为图 3(a)。

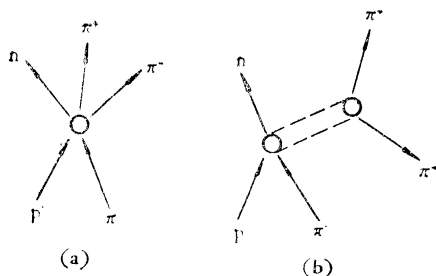
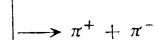
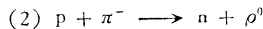


图 3  $p\pi^-$  反应费曼图

相应的费曼图为图 3(b)。第一种反应过程无中间态，三个粒子按统计法则分配能量和动量，由其中任意两个粒子（如  $\pi^+\pi^-$ ）的能量和动量按不变质量法得出的相应质量没有固定值，事例数  $N$  按质量的分布为一个光滑的连续分布，如图 4(a) 所示。第二种反应过程通过了中间态  $\rho^0$ 。 $\rho^0$  衰变为  $\pi^+\pi^-$ ，这时的  $\pi^+$ 、 $\pi^-$  不再与  $n$  统计地分配能量和动量，而仅由  $\rho^0$  的质量决定。由能量、动量守恒定律得知， $\rho^0$  的能量和动量应分别等于衰变产物的能量、动

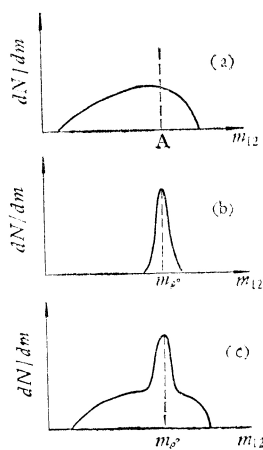


图 4 不变质量谱的三种情况

量和。由动力学的计算得知,  $\rho^0$  的质量为  
 $m_\rho = \{m_1^2 + m_2^2 + 2[E_1 E_2 - p_1 p_2 \cos(\theta_1 + \theta_2)]\}^{1/2}$ 。  
 衰变产物  $\pi^+$ 、 $\pi^-$  的质量  $m_1$ 、 $m_2$  是已知的, 实验上测出这两个粒子的能量  $E_1$ 、 $E_2$ , 动量  $p_1$ 、 $p_2$  和它们相对于  $\rho^0$  飞向方向的角度  $\theta_1$ 、 $\theta_2$ , 即可求得  $\rho^0$  的质量  $m_\rho$ 。当反应为全部通过中间态过程进行时, 则在相空间中的不变质量谱为一峰状分布, 如图 4(b) 所示。当反应部分通过中间态, 部分不通过中间态时, 不变质量谱将如图 4(c) 所示。

以反应产物的部分粒子或全部粒子的能量、动量关系表示的质量称为不变质量, 或叫有效质量, 写成一般形式为  $M^2 = \left(\sum_i E_i\right)^2 - \left(\sum_i p_i\right)^2$

在相空间里描绘的质量分布称为不变质量谱。

测量不变质量, 必须通过大量事例的测量得到。

## 二、丢失质量谱法

在测量短寿命介子时, 如衰变过程中只包含一个中性粒子, 如  $\rho^0 \rightarrow \pi^+ \pi^-$ , 则可通过测不变质量谱, 得

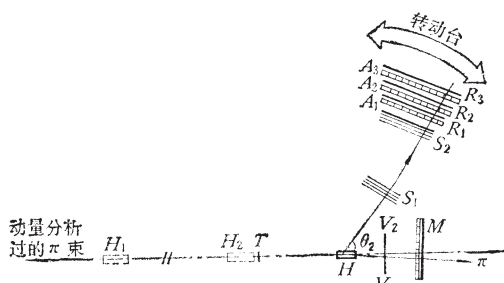


图 5 CERN 的丢失质量谱仪

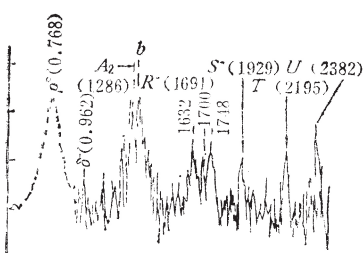


图 6  $\pi^- p \rightarrow p(MM)^-$  反应中的丢失质量

平衡得到。有时, 引入一个中性介子, 能量、动量就可得到平衡。但是, 在有些情况, 引入单个  $\pi^0$  不能使能量、动量平衡, 需引入多个中性介子。显然, 要判断在反应中存在多少个  $\pi^0$  介子是不可能的, 所做的只能是从丢失的能量和动量推断出丢失粒子的有效质量, 称之为丢失质量。如  $\pi^-$  束打到质子靶上, 有如下反应



$x^-$  可以为以下多种情况: 或为  $\pi^-$ , 或  $\pi^- \pi^0$ , 或  $\pi^- \pi^0 \pi^0$ , 或  $\pi^- \pi^+ \pi^-$  等等。我们称  $\pi^0$ 、 $\pi^0 \pi^0$  为相对于  $p\pi^-$  的丢失质量, 也可称  $\pi^0 \pi^-$  为相对于  $p$  的丢失质量, ……。与不变质量的测量相类似, 要知道丢失质量  $M(x)$ , 必须精确地测定初级入射粒子和丢失粒子所对应的带电粒子的能量、动量和方向。

第一个丢失质量谱仪是西欧中心 (CERN) 建造的, 如图 5 所示。 $\pi^-$  束经动量分析, 打到固定靶 (氢靶) 上, 产生的反冲质子动量 (能量) 由  $s_1$  与  $s_2$  之间的飞行时间来测定, 它的运动方向 ( $\theta_2$ ) 由火花室测定。描绘出反冲质子的运动质量谱, 则得到相对于  $p$  的丢失质量谱。同样, 当又测出次级粒子  $\pi^-$  的动量 (能量) 时, 则给出相对于  $p\pi^-$  的  $\pi^0$ 、 $\pi^0 \pi^0$ ……的丢失质量。

许多有价值的工作可用丢失质量谱仪完成。图 6 是丢失质量谱仪的一个测量结果。由  $\pi^- p$  反应, 得到了  $\rho^-$  介子、 $A_2$  及  $A_2$  的“双结构” (“b”所示的位置) 以及  $R$ 、 $S$ 、 $T$  等丢失质量。

## 三、奇异原子光谱法

所谓奇异原子, 是相对于正常原子而言的。原子核外的负电粒子是电子的原子为正常原子, 由其它负电粒子代替电子的原子都称为奇异原子,  $\mu^-$ 、 $\pi^-$ 、 $\Sigma^-$  等等负电粒子都可充当该角色。形成这些原子的过程也很简单, 负电粒子束通过某些物质时, 首先被慢化, 而后被原子或分子俘获到轨道上, 且通过发射俄歇电子或 X 射线而级联跃迁到最低能级, 形成一个“稳定原子”。

由激发态跃迁到较低能态直至跃迁到稳定态的过程中, 奇异原子与正常原子一样, 它们发射光子。光谱线的波长与能级、核外负电粒子的质量之间有一定关系。在正常原子中有

$$\nu = \frac{2\pi^2 m_e z^2 e^4}{h^3 c} \left( \frac{1}{k^2} - \frac{1}{n^2} \right)$$

这里  $\nu$  为原子所发射的光子频率,  $h$  为普朗克常数,  $c$  为光速,  $m_e$  为电子质量,  $z$  为原子序数,  $e$  为电子电荷,  $n$  为原子所处的某个较高能级,  $k$  为原子跃迁到某个较低能级。当实验能测出光子能量, 即光子频率  $\nu$ , 且得知能级  $k$ 、 $n$  的知识后,  $\frac{2\pi^2 m_e z^2 e^4}{h^3 c}$  就唯一地确定了。当核为氢核时, 则  $\frac{2\pi^2 m_e z_H^2 e^4}{h^3 c}$  定义为氢原子的里德堡常数  $R_H$ 。同样, 实验上测定奇异原子的  $\nu_s$  和  $k_s$ 、 $n_s$  后, 则  $\frac{2\pi^2 m_s z^2 e^4}{h^3 c} = R_s$  就可知, 当  $z = 1$  时, 则有  $R_H/R_s = m_e/m_s$ 。这里  $m_s$  为奇异原子核外负电粒子的质量。电子质量  $m_e$  精确已知,  $R_H$  也有很高的精度, 如 1974 年,  $R_H$  值测得为  $109737.3143 \text{ cm}^{-1}$ , 标准偏差

为  $1/10^9$ ,  $R_s$  也可得到相应的精度, 因而不难确定  $m_s$ . 1965 年, 用这种方法测得  $\pi^-$  介子的质量为  $139.580 \pm 0.015 \text{ MeV}$ , 1975 年测得  $\mu^-$  质量为  $105.65876 \text{ MeV}$ . 这是测量  $\pi^- \mu^-$  质量最精确的方法之一.

#### 四、磁 矩 法

原子核或一个带电粒子, 不仅具有电荷, 而且有自旋, 因而具有磁矩. 我们知道, 电子的磁矩  $\mu_e = g_e(c\hbar/2m_e c)$ , 核子(质子)的磁矩为  $\mu_p = g_p(c\hbar/2m_p c)$ , 这里  $m_e$ 、 $m_p$  分别为电子和质子的质量,  $g_e$ 、 $g_p$  分别为电子和质子的迴旋磁比. 这里我们可以看到, 磁矩的大小直接与粒子的质量有关. 因此, 如果能精确测定磁矩和  $g$  值, 那么不难知道相应粒子的质量.

在测量  $\mu^+$  的质量中, 最精确的测量方法之一就是磁矩法.  $\mu$  子的磁矩为

$$\mu_\mu = g_\mu(c\hbar/2m_\mu c)$$

由此可得

$$m_\mu/m_e = \frac{\mu_e}{\mu_\mu} \frac{g_\mu}{g_e} = \frac{\mu_e}{\mu_p} \cdot \frac{\mu_p}{\mu_\mu} (g_\mu/g_e).$$

引入  $\mu_p$  是因为电子和  $\mu$  子的磁矩都是相对于质子磁矩测得的.  $\mu_e/\mu_p$  的测量精度达  $1/10^8$ ,  $g$  值的测量精度达  $1/10^9$ . 1976 年, 由该法测得质量比

$$m_\mu/m_e = 206.76851.$$

即  $m_{\mu^+} = 105.65941 \text{ MeV}$ . 根据 CPT 守恒理论预言, 应有  $m_{\mu^+} = m_{\mu^-}$ , 所以  $m_{\mu^+}$  的质量就作为  $\mu$  子的质量

测量粒子质量, 还有一些其它方法, 如测量粒子的动量和射程来确定质量, 或用全吸收效应测出粒子能量(动能和总能量)定出质量, 等等, 这里不再一一介绍.